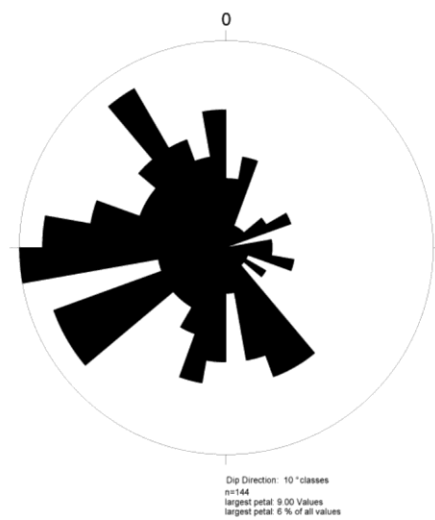
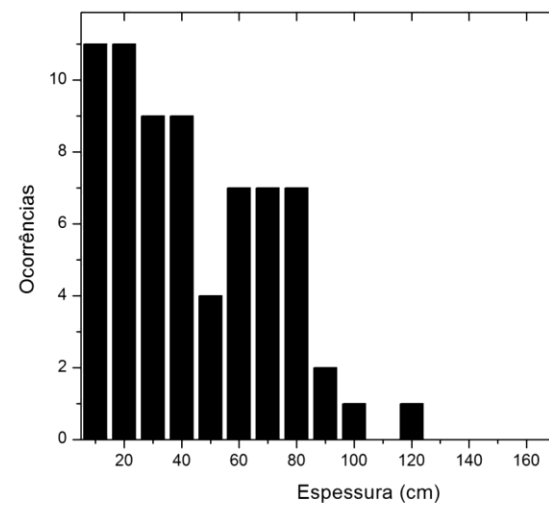


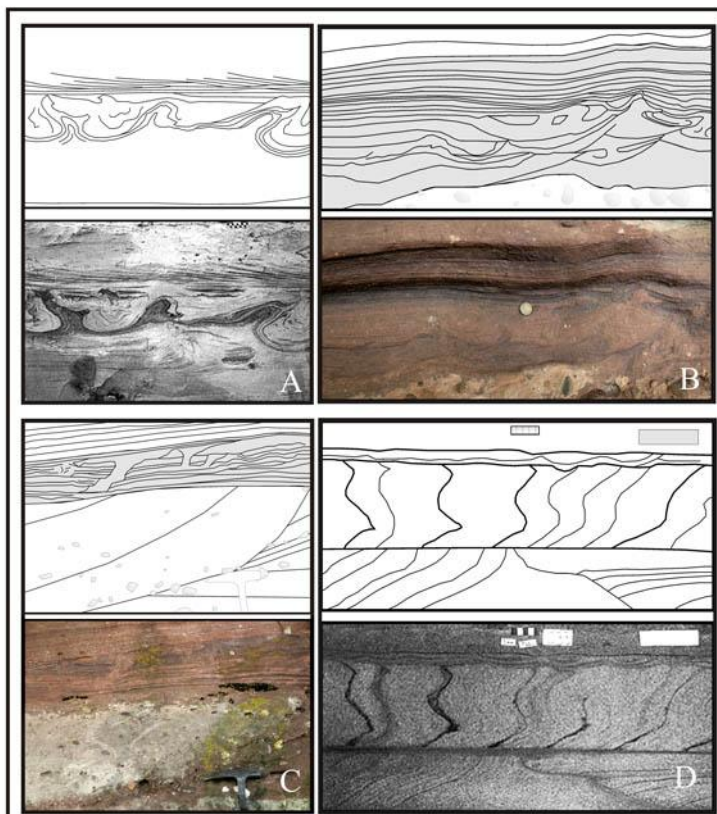
A



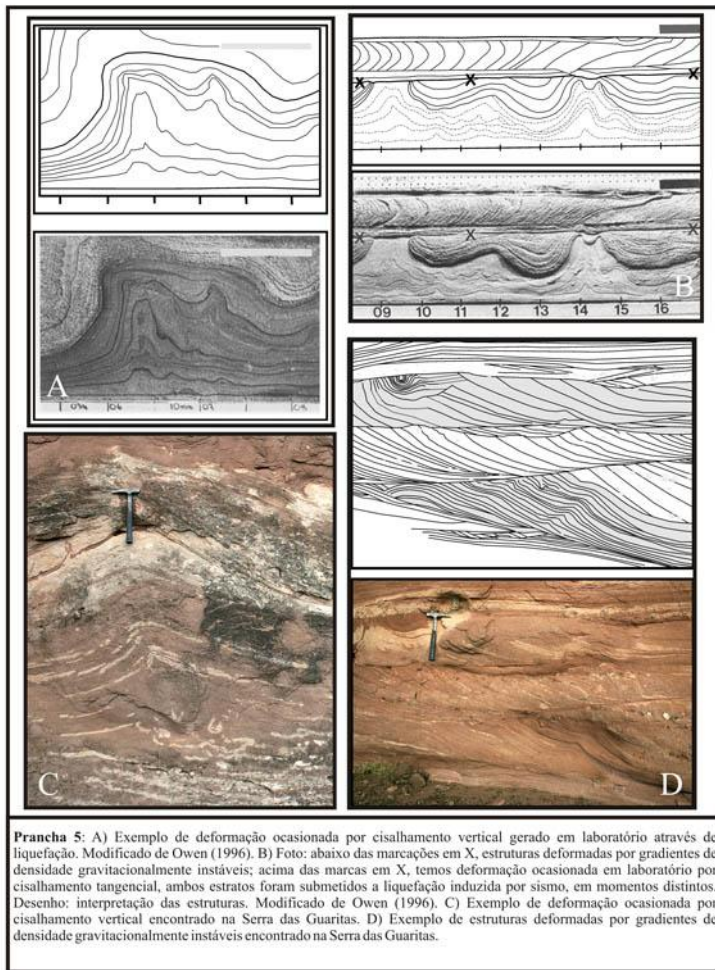
C



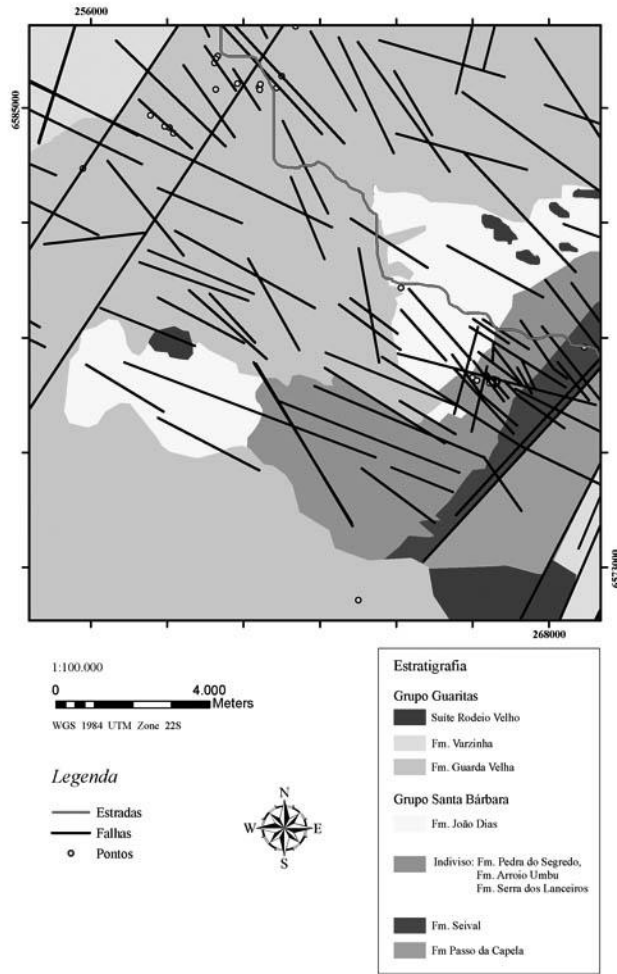
Prancha 7: A) Distribuição das fácies encontradas em todos afloramentos estudados. B) Ocorrências do máximo do maior clasto de cada série em todos afloramentos estudados. C) Total de paleocorrentes em todos afloramentos estudados, exposto em diagrama de roseta. D) Ocorrências de diferentes espessuras de *sets* de canchais em todos afloramentos estudados.



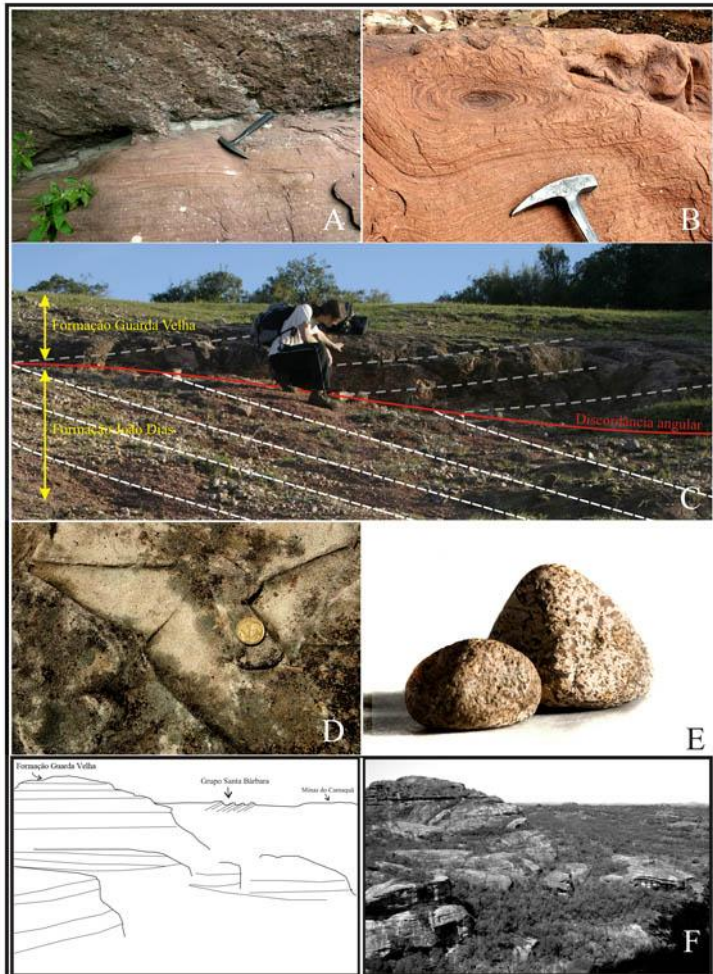
Prancha 6: A) Exemplo de deformação ocasionada por cisalhamento vertical encontrado em seção do Jurássico Superior de Oxfordshire, Grã-Bretanha. Modificado de Owen (1996). B) Estruturas cúspides de sobrecarga em corpos de areia-areia submetidos a deformação ocasionada por gradientes de densidade gravitacionalmente instáveis encontrados na Serra das Guaritas. C) Estruturas de escape de fluidos ocasionado por sobrecarga em corpos de areia-areia submetidos a deformação ocasionada por gradientes de densidade gravitacionalmente instáveis encontrados na Serra das Guaritas. D) Exemplo de deformação ocasionada por cisalhamento vertical gerado em laboratório através de liquefação. Modificado de Owen (1996).



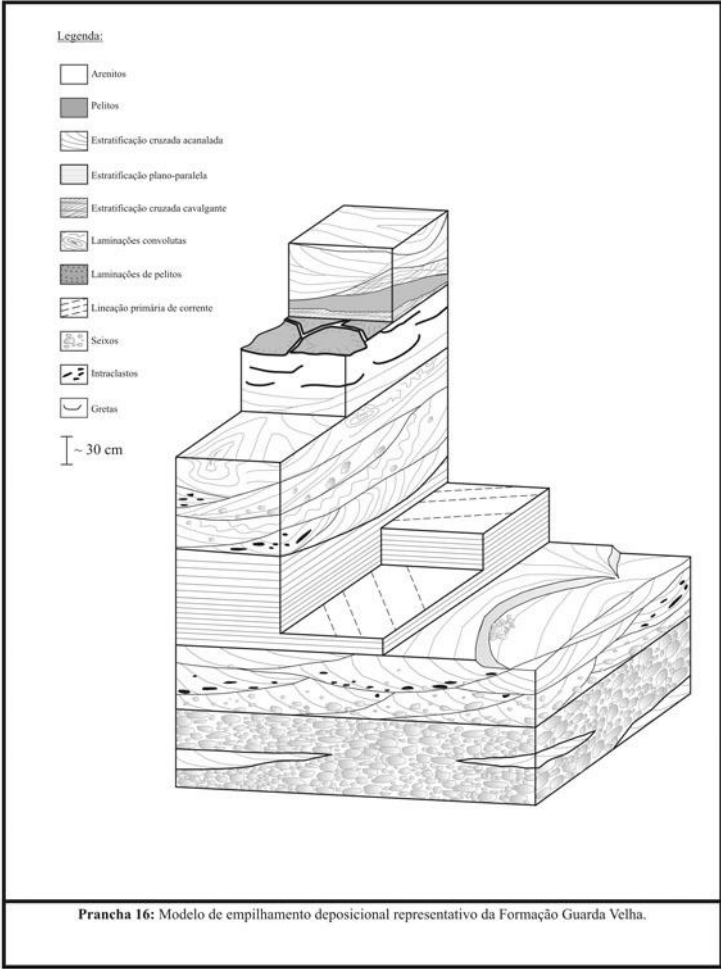
Mapa Geológico da Região das Minas do Camaquã

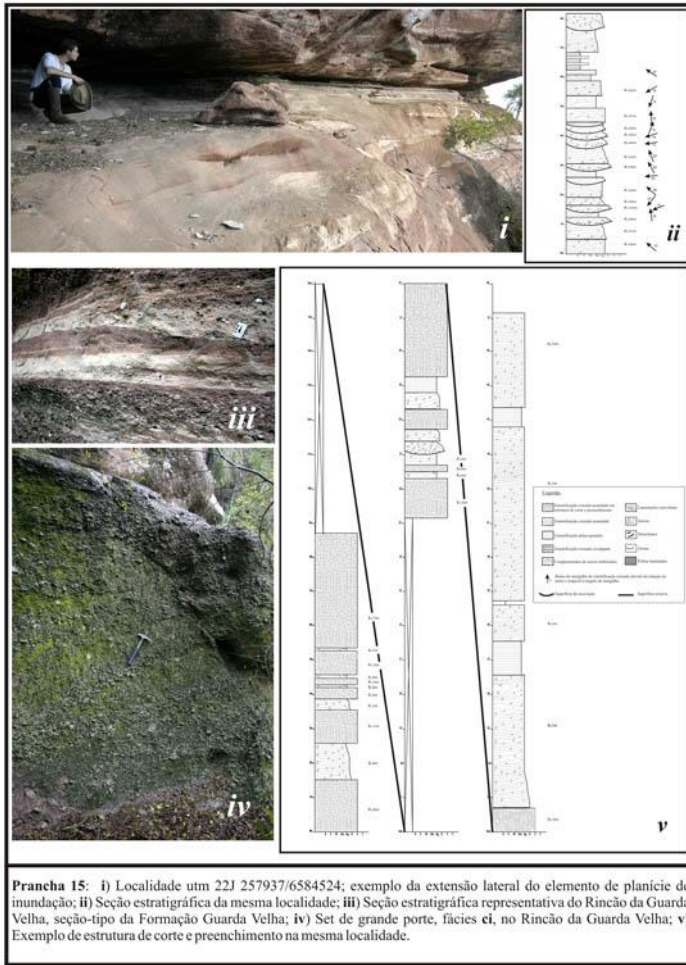


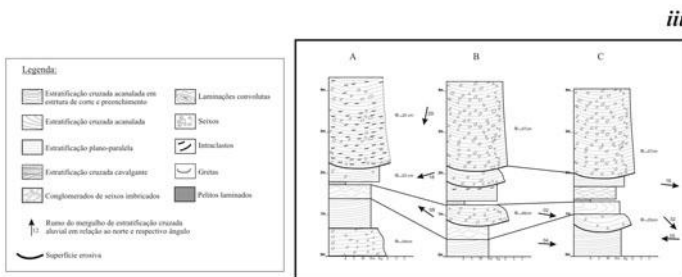
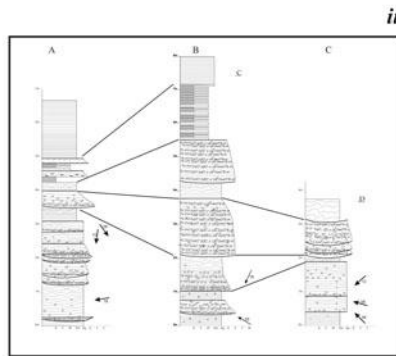
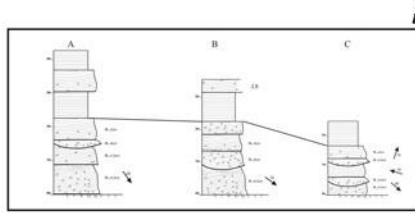
Prancha 2: Mapa Geológico da Região das Minas do Camaquã. Modificado de Fambrini (2005) e Almeida (2005). Lineamentos retrados de imagem orbital ASTER.



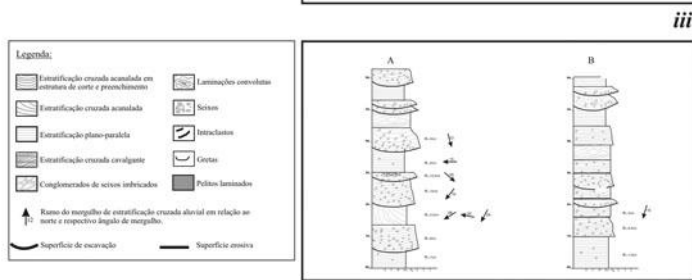
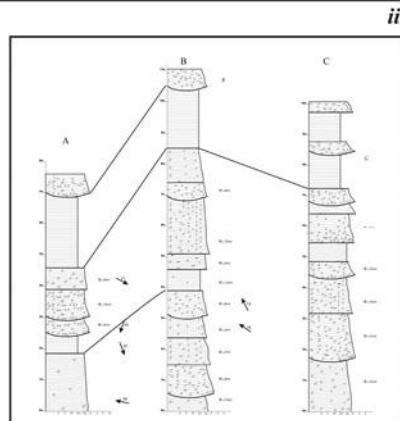
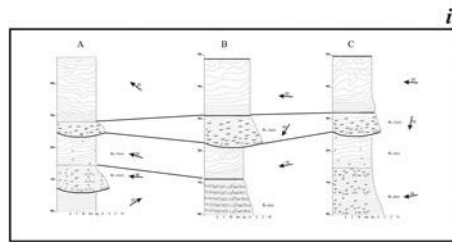
Prancha 17: A) Gretas em placas centimétricas, painel 1; B) Dobra em bacia (painel 3); C) Discordância angular entre o Grupo Santa Bárbara (Formação João Dias) e Grupo Guaritas (Formação Guarda Velha); D) Molde de gipsita encontrado na região da Pedra Pintada; E) Ventifactos retrabalhados encontrados no painel 1, altura do seixo maior é de 4,5 cm. F) Visada a partir da Serra das Guaritas em direção às Minas do Camaquã, ressaltando a discordância regional entre o Grupo Guaritas e o Santa Bárbaras, além do caráter horizontalizado dos depósitos da Formação Guarda Velha.





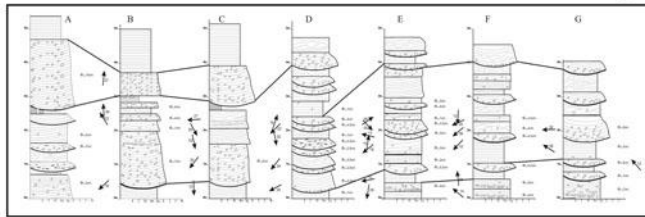


Prancha 14: Seções estratigráficas dispostas nos painéis: **i)** Painel 8; **ii)** Painel 9; **iii)** seções da localidade utm 22J 259289/6585491.

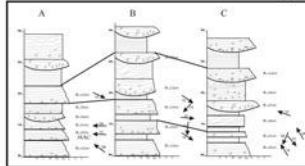


Prancha 13: Seções estratigráficas dispostas nos painéis: **i)** Painel 4; **ii)** Painel 5; **iii)** Painel 6 (A) e 7 (B).

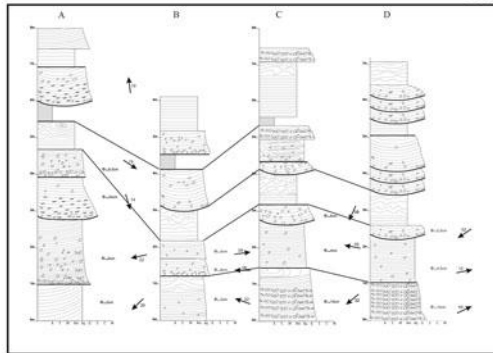
i



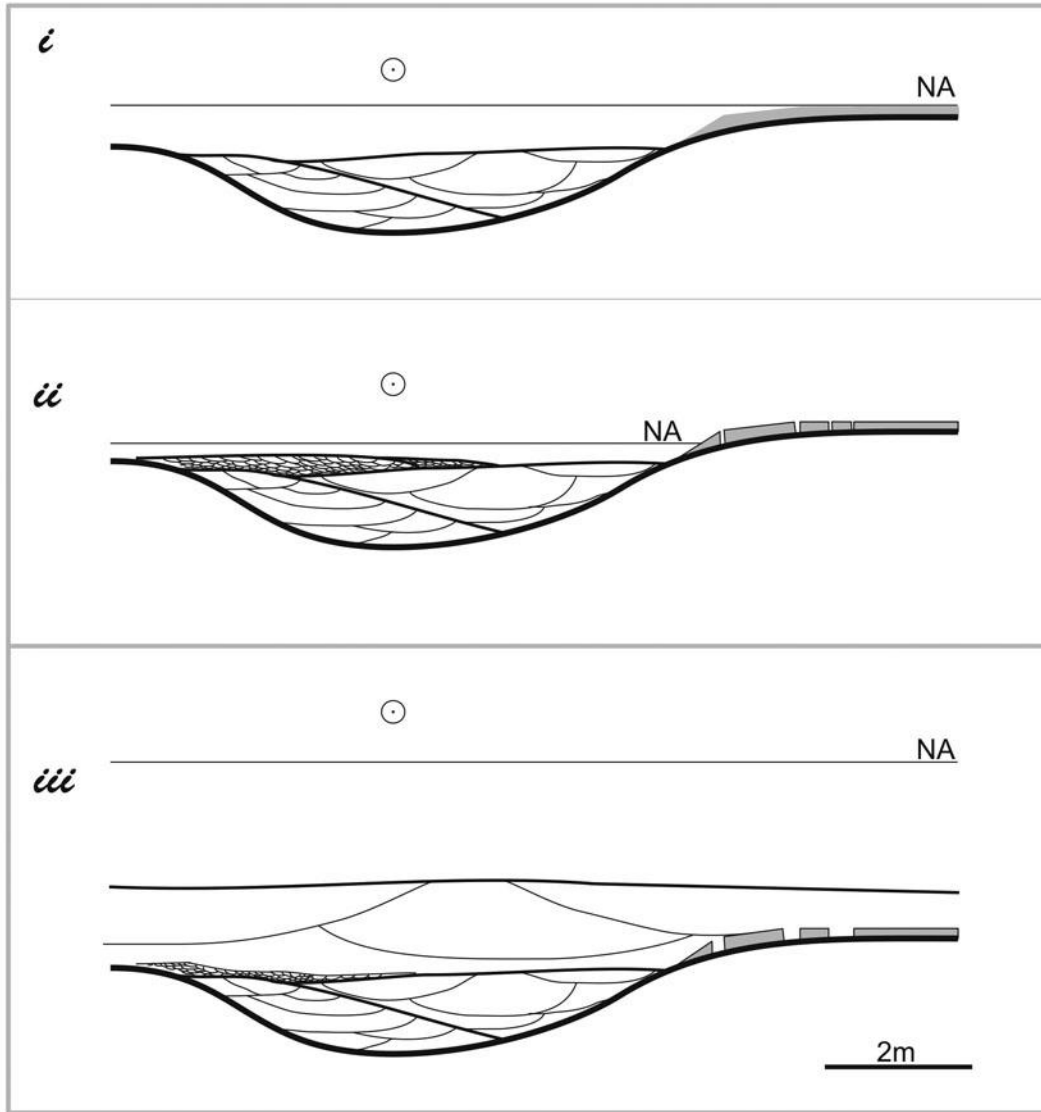
ii

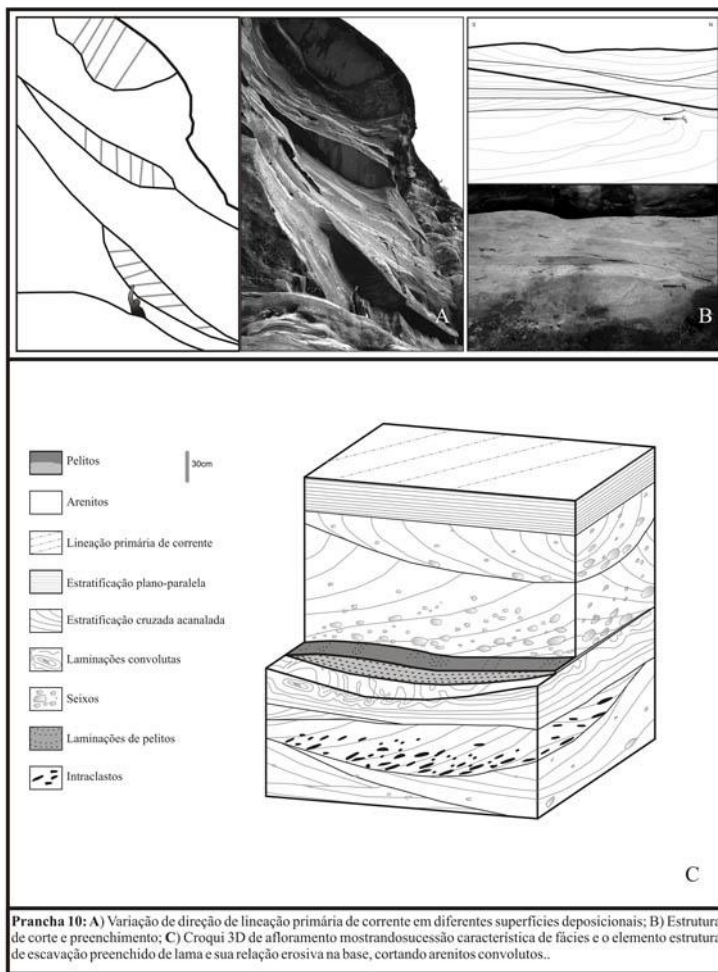


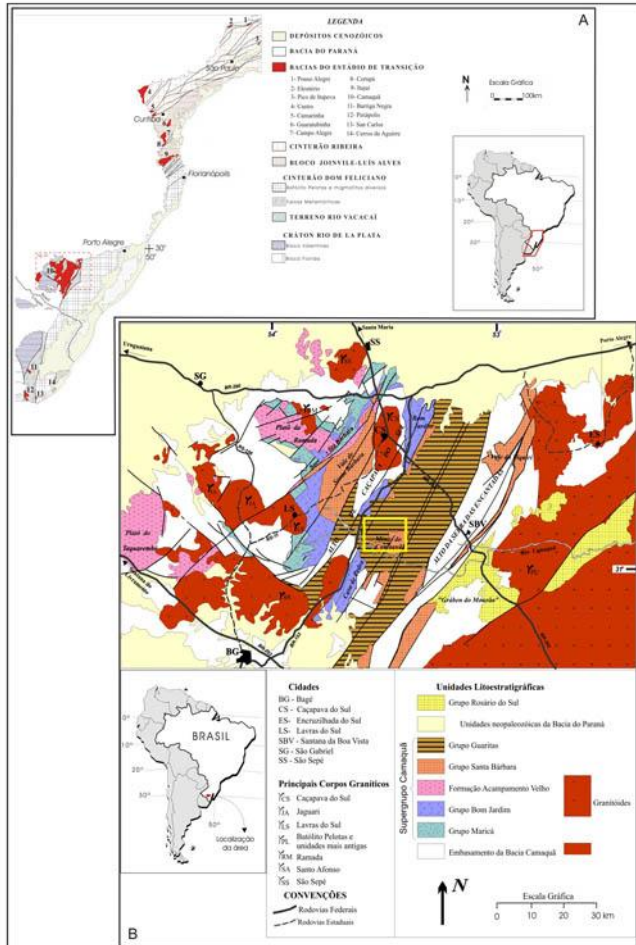
iii



Prancha 12: Seções estratigráficas dispostas nos painéis: **i)** Painel 1; **ii)** Painel 2; **iii)** Painel 3.







Prancha 1: A) Esboço geológico da porção Sul da Província Mantiqueira, mostrando a distribuição das bacias do Estádio de Transição (Ediacarano-Eocambriano), modificado de Almeida (2005). B) Mapa geológico do Supergrupo Camaquã e áreas adjacentes, retirado de Almeida (2005). A região deste presente estudo aparece destacada pelo retângulo amarelo.